

Coercition temporelle de réseaux de Petri

Didier LIME CLAUDE MARTINEZ OLIVIER H. ROUX

IRCCyN / École Centrale de Nantes

16 novembre 2011

Introduction

- ▶ Objectifs:
 - ▶ Restreindre les comportements temporels d'un modèle réseaux de Petri pour assurer le respect d'une spécification,
 - ▶ Préserver la structure du modèle,
 - ▶ Obtenir un algorithme.
- ▶ Travaux apparentés:
 - ▶ Supervision des systèmes de production (modèles temporisés),
 - ▶ Synthèse de paramètres temporels.

Plan

Introduction

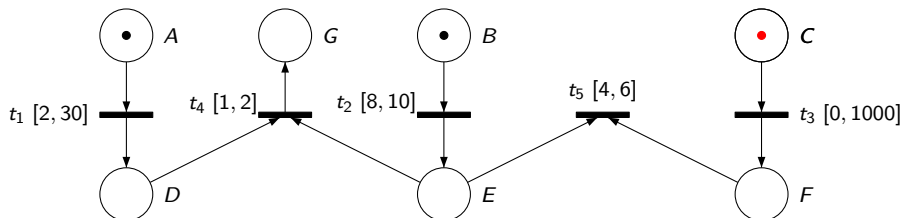
Problème de la coercition temporelle de réseaux de Petri

Espace d'état coercible

Ensemble de coercition relatif à une propriété

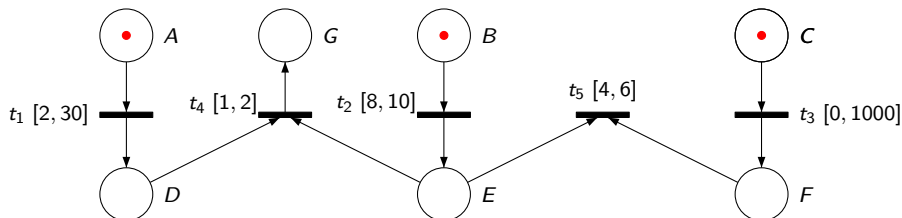
Conclusion

Réseaux de Petri temporels (TPN)

Figure: Un réseau de Petri temporel \mathcal{N}

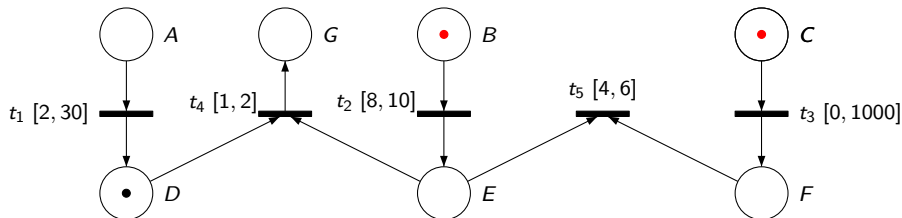
$\{A, B, C\}$
 $\nu(t_1) = 0$
 $\nu(t_2) = 0$
 $\nu(t_3) = 0$

Réseaux de Petri temporels (TPN)

Figure: Un réseau de Petri temporel \mathcal{N}

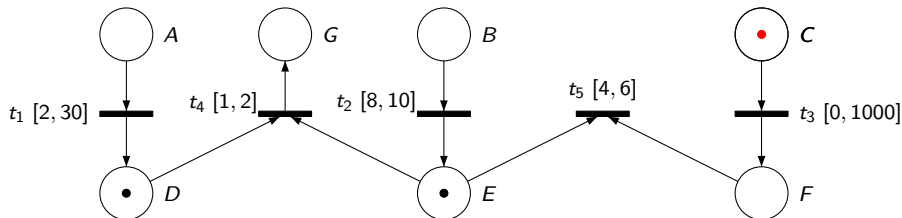
$$\begin{array}{l}
 \{A, B, C\} \\
 \nu(t_1) = 0 \\
 \nu(t_2) = 0 \\
 \nu(t_3) = 0
 \end{array}
 \xrightarrow{\epsilon^{(8,3)}}
 \begin{array}{l}
 \{A, B, C\} \\
 \nu(t_1) = 8, 3 \\
 \nu(t_2) = 8, 3 \\
 \nu(t_3) = 8, 3
 \end{array}$$

Réseaux de Petri temporels (TPN)

Figure: Un réseau de Petri temporel \mathcal{N}

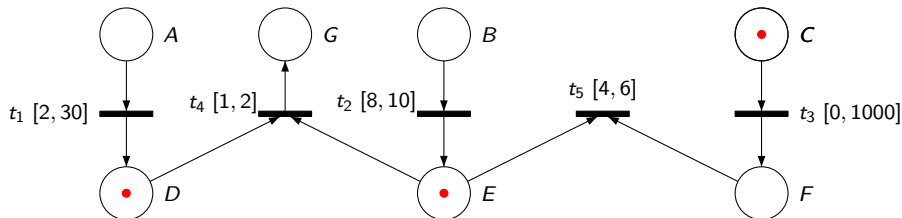
$$\begin{array}{l}
 \{A, B, C\} \\
 \nu(t_1) = 0 \\
 \nu(t_2) = 0 \\
 \nu(t_3) = 0
 \end{array}
 \xrightarrow{\epsilon(8,3)}
 \begin{array}{l}
 \{A, B, C\} \\
 \nu(t_1) = 8, 3 \\
 \nu(t_2) = 8, 3 \\
 \nu(t_3) = 8, 3
 \end{array}
 \xrightarrow{t_1}
 \begin{array}{l}
 \{B, C, D\} \\
 \nu(t_2) = 8, 3 \\
 \nu(t_3) = 8, 3
 \end{array}$$

Réseaux de Petri temporels (TPN)

Figure: Un réseau de Petri temporel \mathcal{N}

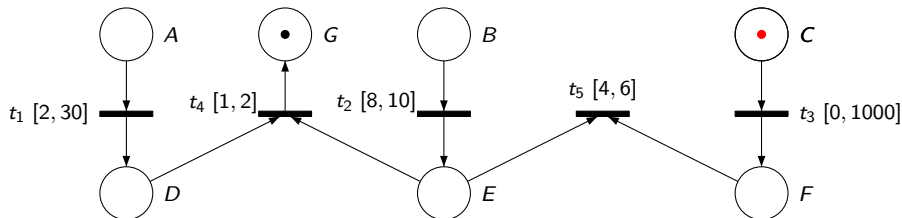
$$\begin{array}{l}
 \{A, B, C\} \\
 \nu(t_1) = 0 \\
 \nu(t_2) = 0 \\
 \nu(t_3) = 0
 \end{array}
 \xrightarrow{\epsilon(8,3)}
 \begin{array}{l}
 \{A, B, C\} \\
 \nu(t_1) = 8, 3 \\
 \nu(t_2) = 8, 3 \\
 \nu(t_3) = 8, 3
 \end{array}
 \xrightarrow{t_1}
 \begin{array}{l}
 \{B, C, D\} \\
 \nu(t_2) = 8, 3 \\
 \nu(t_3) = 8, 3
 \end{array}
 \xrightarrow{t_2}
 \begin{array}{l}
 \{C, D, E\} \\
 \nu(t_3) = 8, 3 \\
 \nu(t_4) = 0
 \end{array}$$

Réseaux de Petri temporels (TPN)

Figure: Un réseau de Petri temporel \mathcal{N}

$$\begin{array}{c}
 \{A, B, C\} \\
 \nu(t_1) = 0 \\
 \nu(t_2) = 0 \\
 \nu(t_3) = 0
 \end{array}
 \xrightarrow{\epsilon(8,3)}
 \begin{array}{c}
 \{A, B, C\} \\
 \nu(t_1) = 8, 3 \\
 \nu(t_2) = 8, 3 \\
 \nu(t_3) = 8, 3
 \end{array}
 \xrightarrow{t_1}
 \begin{array}{c}
 \{B, C, D\} \\
 \nu(t_2) = 8, 3 \\
 \nu(t_3) = 8, 3
 \end{array}
 \xrightarrow{t_2}
 \begin{array}{c}
 \{C, D, E\} \\
 \nu(t_3) = 8, 3 \\
 \nu(t_4) = 0
 \end{array}
 \xrightarrow{\epsilon(2)}
 \begin{array}{c}
 \{C, D, E\} \\
 \nu(t_3) = 10, 3 \\
 \nu(t_4) = 2
 \end{array}$$

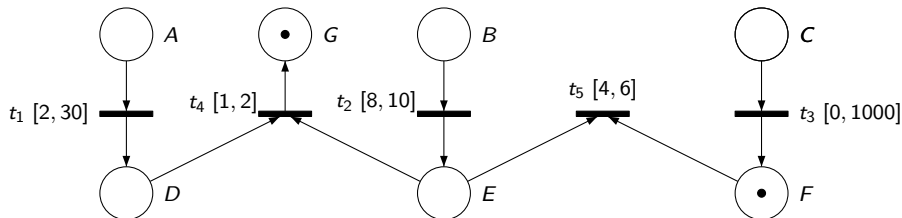
Réseaux de Petri temporels (TPN)

Figure: Un réseau de Petri temporel \mathcal{N}

$$\begin{array}{c}
 \{A, B, C\} \\
 \nu(t_1) = 0 \\
 \nu(t_2) = 0 \\
 \nu(t_3) = 0
 \end{array}
 \xrightarrow{\epsilon(8,3)}
 \begin{array}{c}
 \{A, B, C\} \\
 \nu(t_1) = 8, 3 \\
 \nu(t_2) = 8, 3 \\
 \nu(t_3) = 8, 3
 \end{array}
 \xrightarrow{t_1}
 \begin{array}{c}
 \{B, C, D\} \\
 \nu(t_2) = 8, 3 \\
 \nu(t_3) = 8, 3
 \end{array}
 \xrightarrow{t_2}
 \begin{array}{c}
 \{C, D, E\} \\
 \nu(t_3) = 8, 3 \\
 \nu(t_4) = 0
 \end{array}
 \xrightarrow{\epsilon(2)}
 \begin{array}{c}
 \{C, D, E\} \\
 \nu(t_3) = 10, 3 \\
 \nu(t_4) = 2
 \end{array}$$

$$\xrightarrow{t_4}
 \begin{array}{c}
 \{C, G\} \\
 \nu(t_3) = 10, 3
 \end{array}$$

Réseaux de Petri temporels (TPN)

Figure: Un réseau de Petri temporel \mathcal{N}

$$\begin{array}{c}
 \{A, B, C\} \\
 \nu(t_1) = 0 \\
 \nu(t_2) = 0 \\
 \nu(t_3) = 0
 \end{array}
 \xrightarrow{\epsilon(8,3)}
 \begin{array}{c}
 \{A, B, C\} \\
 \nu(t_1) = 8, 3 \\
 \nu(t_2) = 8, 3 \\
 \nu(t_3) = 8, 3
 \end{array}
 \xrightarrow{t_1}
 \begin{array}{c}
 \{B, C, D\} \\
 \nu(t_2) = 8, 3 \\
 \nu(t_3) = 8, 3
 \end{array}
 \xrightarrow{t_2}
 \begin{array}{c}
 \{C, D, E\} \\
 \nu(t_3) = 8, 3 \\
 \nu(t_4) = 0
 \end{array}
 \xrightarrow{\epsilon(2)}
 \begin{array}{c}
 \{C, D, E\} \\
 \nu(t_3) = 10, 3 \\
 \nu(t_4) = 2
 \end{array}$$

$$\begin{array}{c}
 t_4 \\
 \nu(t_3) = 10, 3
 \end{array}
 \xrightarrow{t_4}
 \begin{array}{c}
 \{C, G\} \\
 \nu(t_3) = 10, 3
 \end{array}
 \xrightarrow{t_3}
 \begin{array}{c}
 \{F, G\}
 \end{array}$$

Plan

Introduction

Problème de la coercition temporelle de réseaux de Petri

Espace d'état coercible

Ensemble de coercition relatif à une propriété

Conclusion

Problème de la coercition temporelle de réseaux de Petri

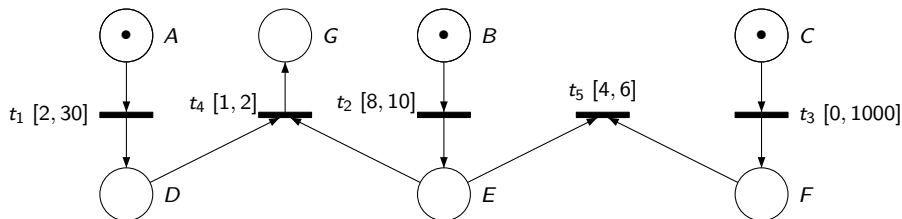


Figure: Un réseau de Petri temporel \mathcal{N}

Problème de la coercition temporelle de réseaux de Petri

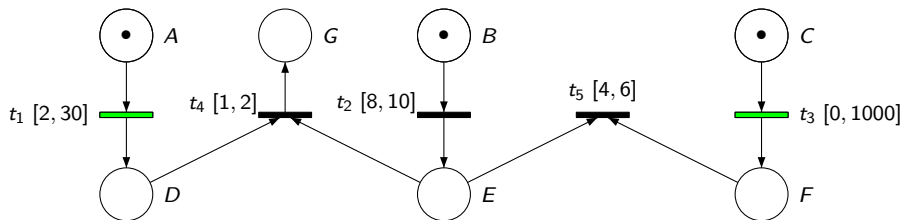


Figure: Un réseau de Petri temporel \mathcal{N}

Problème de la coercition temporelle de réseaux de Petri

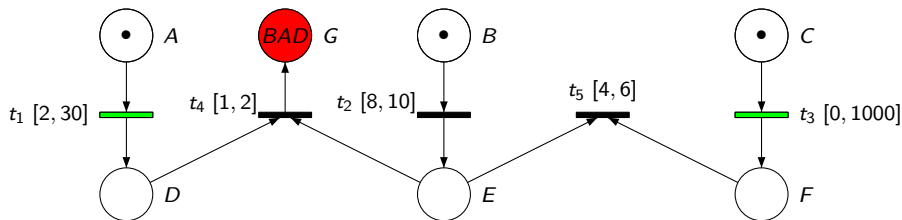


Figure: Un réseau de Petri temporel \mathcal{N}

Une coercition

Definition (Coercition d'un TPN)

Etant donnés

- ▶ un réseau de Petri temporel $\mathcal{N} = (P, T, \bullet(\cdot), (\cdot)^\bullet, M_0, (\alpha, \beta))$,
- ▶ un ensemble de transitions $T_r \subseteq T$,

Une coercion

Definition (Coercition d'un TPN)

Etant donnés

- ▶ un réseau de Petri temporel $\mathcal{N} = (P, T, \bullet(\cdot), (\cdot)^\bullet, M_0, (\alpha, \beta))$,
- ▶ un ensemble de transitions $T_r \subseteq T$,

une coercion c de \mathcal{N} sur T_r est un réseau de Petri

$\llbracket (\mathcal{N}, T_r) \rrbracket_c = (P, T, \bullet(\cdot), (\cdot)^\bullet, M_0, (\alpha^c, \beta^c))$ tel que :

$$\forall t \in T, tq t \notin T_r \begin{cases} \alpha^c(t) = \alpha(t) \\ \beta^c(t) = \beta(t) \end{cases} \quad \text{et } \forall t \in T_r, \begin{cases} \alpha^c(t) \geq \alpha(t) \\ \beta^c(t) \leq \beta(t) \\ \alpha^c(t) \leq \beta^c(t) \end{cases}$$

Ensemble de coercition

Definition (Ensemble de coercition relatif à une propriété)

Etant donnés

- ▶ un réseau de Petri temporel \mathcal{N} ,
- ▶ un sous ensemble de ses transitions T_r ,
- ▶ et une propriété φ ,

l'ensemble de coercition de \mathcal{N} sur T_r relatif à φ est l'ensemble $\chi(\mathcal{N}, T_r, \varphi)$ tel que :

$$\forall c \in \chi(\mathcal{N}, T_r, \varphi), \llbracket (\mathcal{N}, T_r) \rrbracket_c \models \varphi$$

SCP_φ Definition (Existence et synthèse des coercitions d'un TPN : SCP_φ)

Etant donné un réseau \mathcal{N} , un sous ensemble de ses transitions T_r , et une propriété φ ,

- ▶ **Existence** : Existe-t-il une coercition c , telle que $\llbracket (\mathcal{N}, T_r) \rrbracket_c \models \varphi$?
- ▶ **Synthèse** : Déterminer le plus grand ensemble $\chi(\mathcal{N}, T_r, \varphi)$.

L'existence d'une coercition se ramène à $\chi(\mathcal{N}, T_r, \varphi) \neq \emptyset$.

Nous regroupons ces 2 problèmes sous le nom SCP_φ .

Décidabilité

Theorem (SCP_{CTL} est décidable pour les TPN bornés)

Etant donné un réseau de Petri temporel borné \mathcal{N} , un ensemble de transitions T_r , et une propriété CTL quelconque φ ,

- ▶ *le problème de l'existence d'une coercition est **décidable***
- ▶ *et il existe un algorithme de **synthèse** de l'ensemble de coercition $\chi(\mathcal{N}, T_r, \varphi)$.*

Plan

Introduction

Problème de la coercition temporelle de réseaux de Petri

Espace d'état coercible

Ensemble de coercition relatif à une propriété

Conclusion

Espace d'état coercible

Definition (Classe d'états coercible)

Une *classe d'états coercible* C d'un tpn $\mathcal{N} = (P, T, \bullet(\cdot), (\cdot)^\bullet, M_0, (\alpha, \beta))$ coercible sur l'ensemble $T_r \subseteq T$, est une paire (M, D) telle que

- ▶ M est un marquage du réseau
- ▶ D est un domaine de tirs représenté par un polyèdre convexe sur
 - ▶ α_i et $\beta_i \forall t_i \in T_r$
 - ▶ θ_j pour les dates de tir des transitions sensibilisées t_j

Espace d'état coercible

Definition (Classe d'états coercible)

Une *classe d'états coercible* C d'un tpn $\mathcal{N} = (P, T, \bullet(\cdot), (\cdot)^\bullet, M_0, (\alpha, \beta))$ coercible sur l'ensemble $T_r \subseteq T$, est une paire (M, D) telle que

- ▶ M est un marquage du réseau
- ▶ D est un domaine de tirs représenté par un polyèdre convexe sur
 - ▶ α_i et $\beta_i \forall t_i \in T_r$
 - ▶ θ_j pour les dates de tir des transitions sensibilisées t_j

Definition (Condition (ou domaine) d'accessibilité d'une classe)

- ▶ $\Delta(D)$, la projection D sur les variables α_i et β_i ($\forall t_i \in T_r$)
- ▶ $D|_{\alpha, \beta}$ est le plus petit polyèdre convexe contenant tous (et seulement) les points entiers de $\Delta(D)$.

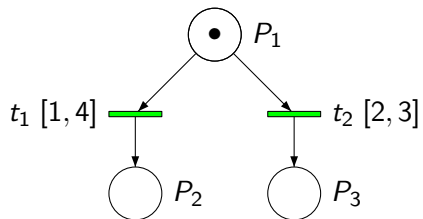
Graphe des classes d'états coercibles

Definition (Successeur d'une classe d'états coercible $C=(M,D)$)

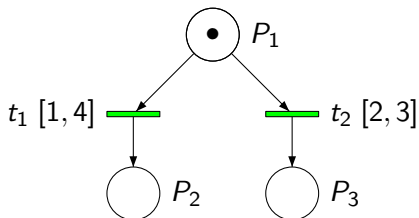
Le successeur de C par le tir de t_f : $C = (M, D) \xrightarrow{t_f} C' = (M', D')$, est calculé de la manière suivante :

- ▶ $M' = M - \bullet t_f + t_f \bullet$
- ▶ $D' = next(D, t_f)$ est calculé à partir de D par les étapes suivantes :
 1. intersection avec les contraintes de tirabilité : $\forall j, \theta_f \leq \theta_j$
 2. substitution des variables $\forall t_j \neq t_i : \theta_j = \theta_f + \theta'_j$,
 3. élimination des variables θ relatives aux transitions désensibilisées par le tir de t_f (par exemple par la méthode de Fourier-Motzkin),
 4. projection sur \mathbb{N} des variables α et β .
 5. ajout des inéquations relatives aux transitions nouvellement sensibilisées

Graphe des classes d'états coercibles



Graphe des classes d'états coercibles

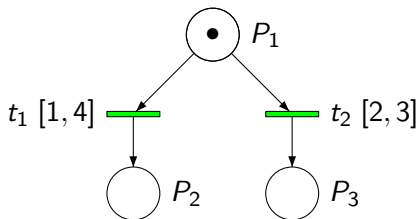


$\mathbf{C}_0 = (\mathbf{M}_0, \mathbf{D}_0) :$

$M_0 = \{P_1\}$

$$D_0 = \begin{cases} 1 \leq \alpha_1 \leq \beta_1 \leq 4 \\ 2 \leq \alpha_2 \leq \beta_2 \leq 3 \\ \alpha_1 \leq \theta_1 \leq \beta_1, \\ \alpha_2 \leq \theta_2 \leq \beta_2, \end{cases}$$

Graphe des classes d'états coercibles



$\mathbf{C}_0 = (\mathbf{M}_0, \mathbf{D}_0) :$

$$M_0 = \{P_1\}$$

$$D_0 = \begin{cases} 1 \leq \alpha_1 \leq \beta_1 \leq 4 \\ 2 \leq \alpha_2 \leq \beta_2 \leq 3 \\ \alpha_1 \leq \theta_1 \leq \beta_1, \\ \alpha_2 \leq \theta_2 \leq \beta_2, \end{cases}$$

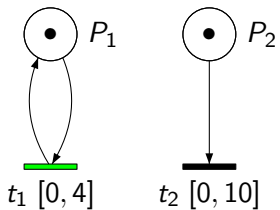
$\xrightarrow{t_1}$

$\mathbf{C}_1 = (\mathbf{M}_1, \mathbf{D}_1) :$

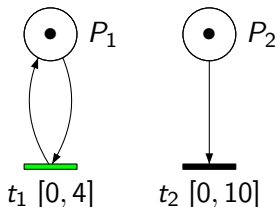
$$M_1 = \{P_2\}$$

$$D_1 = \begin{cases} 1 \leq \alpha_1 \leq \beta_1 \leq 4 \\ 2 \leq \alpha_2 \leq \beta_2 \leq 3 \\ \beta_2 \geq \alpha_1 \end{cases}$$

Terminaison de l'algorithme

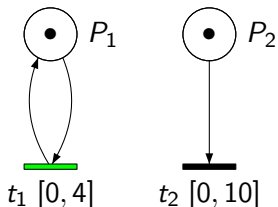


Terminaison de l'algorithme



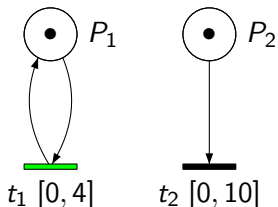
- **Problème** : Le tir répété n fois de t_1 conduit à l'équation $0 \leq \theta_2 \leq -n * \alpha_1 + 10$ et donc à $n * \alpha_1 \leq 10$

Terminaison de l'algorithme



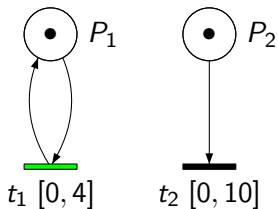
- ▶ **Problème** : Le tir répété n fois de t_1 conduit à l'équation $0 \leq \theta_2 \leq -n * \alpha_1 + 10$ et donc à $n * \alpha_1 \leq 10$
 - ▶ Les variables α_1 et β_1 sont entières donc $\alpha_1 \leq \lfloor 10/n \rfloor$ et donc pour $n > 10$ nous obtenons $\alpha_1 = 0$.

Terminaison de l'algorithme



- ▶ **Problème** : Le tir répété n fois de t_1 conduit à l'équation $0 \leq \theta_2 \leq -n * \alpha_1 + 10$ et donc à $n * \alpha_1 \leq 10$
 - ▶ Les variables α_1 et β_1 sont entières donc $\alpha_1 \leq \lfloor 10/n \rfloor$ et donc pour $n > 10$ nous obtenons $\alpha_1 = 0$.
- ▶ **Problème** : Le tir répété n fois de t_1 conduit à l'équation $\theta_2 \geq -n * \beta_1 + 10$

Terminaison de l'algorithme



- ▶ **Problème** : Le tir répété n fois de t_1 conduit à l'équation $0 \leq \theta_2 \leq -n * \alpha_1 + 10$ et donc à $n * \alpha_1 \leq 10$
 - ▶ Les variables α_1 et β_1 sont entières donc $\alpha_1 \leq \lfloor 10/n \rfloor$ et donc pour $n > 10$ nous obtenons $\alpha_1 = 0$.
- ▶ **Problème** : Le tir répété n fois de t_1 conduit à l'équation $\theta_2 \geq -n * \beta_1 + 10$
 - ▶ Le cas Zenon est traité en distinguant $\beta_1 = 0$ de $\beta_1 \geq 1$

Plan

Introduction

Problème de la coercition temporelle de réseaux de Petri

Espace d'état coercible

Ensemble de coercition relatif à une propriété

Conclusion

Ensemble de coercion relatif à une propriété

Fragment de CTL : formules non imbriquées et sans l'opérateur X

Ensemble de coercion relatif à une propriété

Fragment de CTL : formules non imbriquées et sans l'opérateur X

Deux algorithmes récursifs dédiés dont la condition de terminaison est l'inclusion :

- ▶ Algorithme EU: $\phi = \exists \varphi \mathcal{U} \psi$
- ▶ Algorithme AU: $\phi = \forall \varphi \mathcal{U} \psi$

Ensemble de coercion relatif à une propriété

Algorithme EU: pour les formules de la forme $\phi = \exists\varphi\mathcal{U}\psi$. Soit la classe $C = (M, D)$, nous calculons :

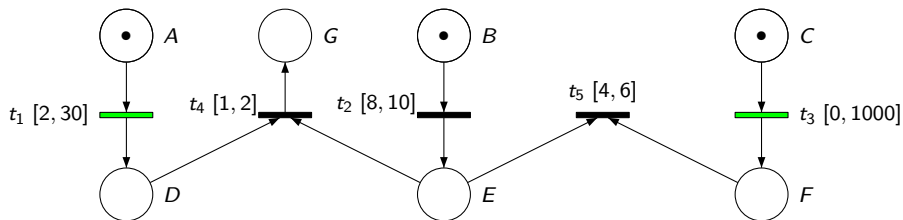
$$F_{\exists\varphi\mathcal{U}\psi}(C) = D_{|\alpha,\beta} \wedge \left(M \models \psi \vee \left(M \models \varphi \wedge M \not\models \psi \wedge \left(\bigvee_{\substack{t \in \text{firable}(C) \\ C' = \text{succ}(C,t)}} F_{\exists\varphi\mathcal{U}\psi}(C') \right) \right) \right)$$

Ensemble de coercion relatif à une propriété

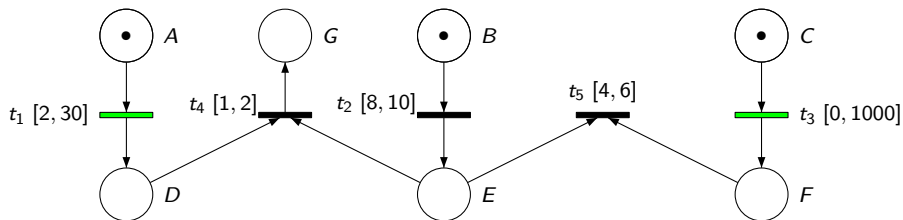
Algorithme AU: Pour les formules de la forme $\phi = \forall\varphi\mathcal{U}\psi$. Soit la classe $C = (M, D)$, nous calculons :

$$F_{\forall\varphi\mathcal{U}\psi}(C) = D_{|\alpha,\beta} \wedge \left(M \models \psi \vee \left(M \models \varphi \wedge M \not\models \psi \right. \right. \\ \left. \left. \wedge \left(\bigwedge_{\substack{t \in \text{firable}(C) \\ C' = (M', D') = \text{succ}(C, t)}} (F_{\forall\varphi\mathcal{U}\psi}(C') \vee \neg D'_{|\alpha,\beta}) \right) \right) \right)$$

Exemples

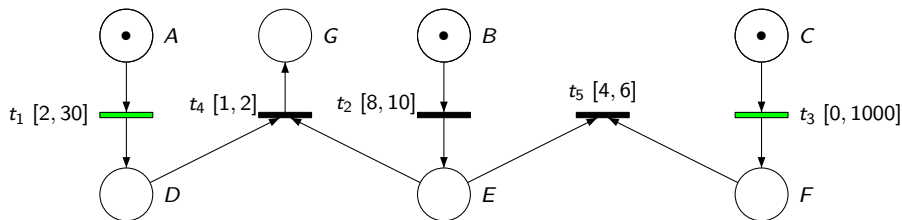


Exemples



Considérons le réseau \mathcal{N} avec $T_r = \{t_1, t_3\}$ et la formule $\forall \square (M(G) = 0)$

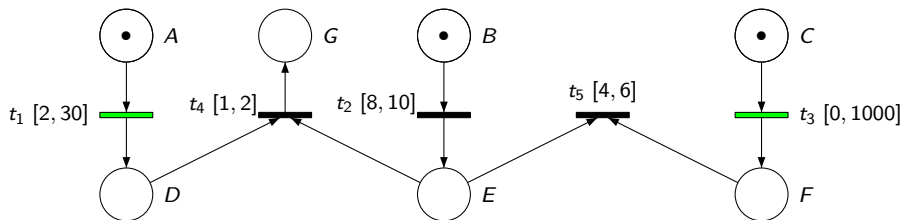
Exemples



Considérons le réseau \mathcal{N} avec $T_r = \{t_1, t_3\}$ et la formule $\forall \square (M(G) = 0)$

Le résultat est : $\{\alpha_3 \leq \beta_3 \leq \alpha_1 - 6\} \wedge \{\alpha_1 \geq 16\} \wedge \{\alpha_1 \leq \beta_1 \leq 30\}$

Exemples

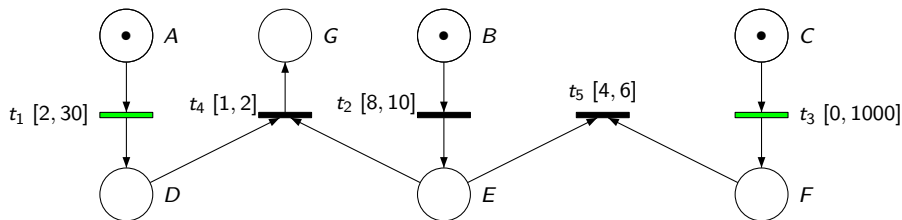


Considérons le réseau \mathcal{N} avec $T_r = \{t_1, t_3\}$ et la formule $\forall \square (M(G) = 0)$

Le résultat est : $\{\alpha_3 \leq \beta_3 \leq \alpha_1 - 6\} \wedge \{\alpha_1 \geq 16\} \wedge \{\alpha_1 \leq \beta_1 \leq 30\}$

et avec la formule $\forall \diamond (M(G) > 0)$

Exemples



Considérons le réseau \mathcal{N} avec $T_r = \{t_1, t_3\}$ et la formule $\forall \square (M(G) = 0)$

Le résultat est : $\{\alpha_3 \leq \beta_3 \leq \alpha_1 - 6\} \wedge \{\alpha_1 \geq 16\} \wedge \{\alpha_1 \leq \beta_1 \leq 30\}$

et avec la formule $\forall \diamond (M(G) > 0)$

Le résultat est : $(\{\beta_1 \leq \alpha_3 + 1\} \vee \{\beta_1 \leq 9\}) \wedge \{2 \leq \alpha_1 \leq \beta_1 \leq 30\}$

Conclusion

Conclusion :

- ▶ SCP_{φ} est décidable. (Une sous classe décidable du model-checking paramétrique)

Conclusion

Conclusion :

- ▶ SCP_{φ} est décidable. (Une sous classe décidable du model-checking paramétrique)
- ▶ un algorithme symbolique

Conclusion

Conclusion :

- ▶ SCP_φ est décidable. (Une sous classe décidable du model-checking paramétrique)
- ▶ un algorithme symbolique
- ▶ une implémentation dans l'outil **Roméo**

Perspectives :

Conclusion

Conclusion :

- ▶ SCP_{φ} est décidable. (Une sous classe décidable du model-checking paramétrique)
- ▶ un algorithme symbolique
- ▶ une implémentation dans l'outil **Roméo**

Perspectives :

- ▶ Ajouter ∞ en borne max des transitions

Conclusion

Conclusion :

- ▶ SCP_{φ} est décidable. (Une sous classe décidable du model-checking paramétrique)
- ▶ un algorithme symbolique
- ▶ une implémentation dans l'outil **Roméo**

Perspectives :

- ▶ Ajouter ∞ en borne max des transitions
- ▶ Améliorer l'efficacité de l'implémentation